2025-2026 春季学期并行程序设计课程

CPU 架构相关编程实验报告

ChronoSys：领域驱动设计视角下的现代 C++ 高性能编程

***

2026 年 4 月 2 日

目录

1 架构设计

1.1 领域驱动设计架构思想

我们引入领域驱动设计（Domain-Driven Design, DDD）。

在构建现代高性能计算（HPC）实验框架时，随着分析维度与硬件特性的增加，代码库极易陷入逻辑耦合的困境。DDD 核心目的不仅是物理层面上的目录组织，更是为了建立严格的边界控制（Boundary Control），将核心算法的演进与外围实验设施的变动彻底解耦。在这个计算实验的语境中，传统的业务模型被重新映射为“实验科学范式”：矩阵点积与求和归约等核心算法构成了系统的核心域（Core Domain）；实验的流程编排（如配置加载、多尺度批量执行）属于应用层（Application Layer）；而底层的高精度计时、命令行交互（CLI）与数据持久化，则被归入基础设施层（Infrastructure Layer）。

我们将系统严格划分为四层：**Interfaces**、**Application**、**Domain** 与 **Infrastructure**。这一架构遵循依赖倒置原则（Dependency Inversion Principle, DIP）：控制流自顶向下调用，但源码层的依赖箭头必须单向指向最纯粹的 Domain 层。这种正交化设计（Orthogonal Design）为本项目带来了三个显著的系统级收益：

- **算法演进的局部性（Locality of Algorithmic Evolution）**：在新增或替换微架构级优化策略（如 Cache Blocking 或 Superscalar 标量优化）时，变更仅局限于 Domain 层内部。外围的实验调度与数据采集流对底层算法的替换保持透明，有效遏制了复杂度的全局蔓延（Global Sprawl）。

- **核心逻辑的确定性验证（Deterministic Verification of Core Logic）**：通过抽象接口切断 Domain 层与底层物理 I/O（如真实的系统时钟或磁盘文件系统）的直接耦合，核心算法成为可独立实例化的“纯函数（Pure Functions）”。这极大降低了构建测试桩（Mock）的成本，使得在隔离环境下进行高频单元测试（Unit Testing）成为可能。

- **基础设施的无缝替换（Seamless Substitution of Infrastructure）**：性能评测所依赖的底层工具（如高频性能计数器或 CSV 序列化模块）仅作为 Domain 层抽象接口的具体实现（Implementation）被注入。这意味着在跨平台移植（例如从 x86 架构迁移至 ARM 架构）时，领域模型与实验逻辑无需任何重构。

针对本实验中“高精度计时、重复采样、最小二乘近似（OLS）与跨规模渐进分析”等复杂需求，DDD 架构的最终价值在于：它将“科学实验方法论”固化为一层不可变的系统骨架。通过这种严格的模块化解耦，持续的算法探索与严谨的数据分析得以在稳定的架构基座上独立迭代，最终确保了实验结果的可复现性（Reproducibility）与高标准的代码工程质量。

表 1: CPU-Lab 四层架构职责与功能映射

层（Layer）	核心职责（Responsibility）	代表模块（Representative Modules）	依赖方向（Dependency Direction）
Interfaces	处理外部输入输出与参数校验，负责命令路由与用户交互边界	`interfaces/cli/cli_parser`、`validation_service`、`command_dispatcher`	仅依赖 Application
Application	编排用例（Use Case），组织实验流程，不承载具体算法细节	`application/*_benchmark_pipeline`	依赖 Domain 抽象与 Infrastructure 接口
Domain	承载核心业务规则与算法策略（Algorithm Policy），定义实验对象和执行语义	`domain/matrix_dot/*`、`domain/sum_reduce/*`、`domain/shared/algorithm_orchestrator`	仅依赖必要抽象，不依赖 CLI
Infrastructure	提供技术能力实现，如计时、CSV 持久化、平台信息采集	`infrastructure/timing/*`、`csv/*`、`system/*`	被上层调用，不反向依赖上层业务

1.2 基础设施层（Infrastructure）实现细节

基础设施层的设计目标是把“技术噪声”与“领域语义”隔离：一方面，我们提供高精度计时（high-resolution timing）并通过最小二乘拟合（least-squares fitting）估计单位运行成本；另一方面，我们通过 RowLike 静态反射（static reflection-like metadata）统一 CSV 读写路径，避免重复样板代码。

1.2.1 高精度计时与最小二乘近似

设被测任务单次真实耗时为 τ，固定开销（计时器调用、循环控制、调度扰动的均值项）为 β。对于第 i 个采样点，我们令重复次数为 x_i（run_count），观测总时间为 y_i（ns），可建模为

$$y_i = \alpha x_i + \beta + \varepsilon_i,$$

其中 α 是待估计的单位执行成本（ns/run），ε_i 是噪声项。

实现层面，`HighResolutionTimer::measure` 先执行若干 warmup，再对一组递增的 x_i 采样，最后在 `fit_linear_least_squares` 中执行普通最小二乘（Ordinary Least Squares, OLS）。我们最小化

$$\min_{\alpha,\beta} \sum_{i=1}^{n} (y_i - \alpha x_i - \beta)^2,$$

并得到闭式解

$$\hat{\alpha} = \frac{n \sum_i x_i y_i - \left(\sum_i x_i\right)\left(\sum_i y_i\right)}{n \sum_i x_i^2 - \left(\sum_i x_i\right)^2},$$

$$\hat{\beta} = \frac{\sum_i y_i - \hat{\alpha} \sum_i x_i}{n}.$$

拟合优度通过决定系数（coefficient of determination）衡量：

$$R^2 = 1 - \frac{SS_{res}}{SS_{tot}}, \quad SS_{res} = \sum_i (y_i - \hat{y}_i)^2, \quad SS_{tot} = \sum_i (y_i - \bar{y})^2.$$

当 $R^2 \to 1$ 时，线性模型可较好解释“总耗时随 run_count 线性增长”的假设。

从工程鲁棒性看，当前实现还处理了两个关键退化场景：

- 当分母 $n \sum x_i^2 - (\sum x_i)^2$ 过小（采样点退化）时，回退为 $\hat{\alpha} = 0$、$\hat{\beta} = \bar{y}$。
- 当 $SS_{tot} \approx 0$（样本几乎常量）时，令 $R^2 = 1$，避免数值不稳定。

这种“多点拟合而非单次计时”的策略，本质上在统计层面分离了固定成本与线性成本，使跨规模比较更稳定。

1.2.2 RowLike：基于 concept 的静态多态与模板元编程

CSV 基础设施采用 RowLike 约束：

`RowLike<RowT>` $\Longleftrightarrow$ `RowT::meta()` 可在编译期访问。

`meta()` 返回一个由 `RowField<OwnerT, ValueT>` 组成的 tuple，每个字段含列名与成员指针。这等价于为每个 Row 类型声明一份“编译期结构化模式（compile-time schema）”。

在模板元编程（template metaprogramming, TMP）层面，框架通过 index sequence 与 fold expression 协同遍历 tuple 元信息，并在 `for_each_field` 中把字段名和成员引用绑定给回调。于是可以形成统一流水线：

- **读路径**：CSV record → 按 header/ordinal 定位列 → `parse_cell<T>` → 填充 Row 字段。
- **写路径**：Row 字段 → `stringify_cell` → CSV escaping → 输出。

其核心收益是静态多态（static polymorphism）：

- 无虚函数分发（no virtual dispatch），类型错误前移到编译期。
- 新增 Row 仅需补充 `meta()`，读写逻辑零侵入复用。
- 同一机制同时驱动 `row_header`、字段序列化、字段反序列化，保证结构一致性。

换言之，RowLike 把“数据结构定义”提升为单一事实来源（single source of truth, SSOT）：领域对象声明一次，基础设施读写自动获得一致行为，从而将模板复杂度封装在基础设施层内部。

1.3 领域层（Domain）建模与编排

领域层的目标是把“实验问题”抽象为稳定的数学对象与执行协议，而不是把具体实现细节散落在应用层。在本项目中，这个协议由 `AlgorithmOrchestrator` 统一承载：给定问题规模、采样计划与某个可运行算法对象，输出统一的 `BenchmarkResult`。

1.3.1 `algorithm_orchestrator` 的模板元编程设计

从类型系统看，领域层定义了算法策略概念（concept）约束：

$$\texttt{AlgorithmPolicy<P>} \iff \begin{cases} \texttt{P::algorithm\_name()} \to \texttt{string\_view}, \\ \texttt{P::run\_once()} \to \texttt{void}, \\ \texttt{P::output\_fingerprint()} \to \texttt{uint64\_t}. \end{cases}$$

这等价于在编译期建立“可编排算法”的最小完备接口（minimal complete interface）。

编排入口是一个受概念约束的函数调用算子：

```
operator()<P, Args...>(config, args...)
```

其中 P 由模板参数确定，构造由转发引用（forwarding reference）完成，运行期只保留对象实例与数据，而“是否可编排”在编译期判定，避免虚函数分发（virtual dispatch）带来的额外不确定性。

可把整个领域编排写成映射：

$$\mathcal{O} : (\mathcal{C}, \mathcal{P}) \mapsto \mathcal{R},$$

其中 $\mathcal{C}$ 是配置空间（benchmark_name, problem_size, run_counts, warmup_rounds, notes），$\mathcal{P}$ 是满足概念约束的策略集合，$\mathcal{R}$ 是结果行空间。

对任一样本 i，计时器返回 (x_i, y_i)：

$$x_i = \text{run\_count}_i, \quad y_i = \text{elapsed\_ns}_i,$$

领域层再归一化得到单次成本：

$$t_i = \frac{y_i}{x_i} \quad (x_i > 0).$$

由此构造核心统计量：

$$\mu = \frac{1}{n}\sum_{i=1}^{n} t_i,$$

$$\text{median}(\{t_i\}) = \begin{cases} t_{(\frac{n+1}{2})}, & n \text{ 为奇数}, \\ \frac{t_{(\frac{n}{2})}+t_{(\frac{n}{2}+1)}}{2}, & n \text{ 为偶数}, \end{cases}$$

$$\sigma = \sqrt{\frac{1}{n}\sum_{i=1}^{n}(t_i - \mu)^2}.$$

同时继承基础设施层最小二乘（least-squares）拟合结果 $(\hat{\alpha}, \hat{\beta}, R^2)$，从而把“单点测时”升级为“模型化测量”：

$$y_i \approx \hat{\alpha} x_i + \hat{\beta}.$$

这使领域输出既保留经验统计（best/mean/median/stddev），也保留模型参数（slope/intercept/R^2）。

1.3.2 实验一（矩阵列点积）的领域抽象

不讨论具体实现策略时，实验一可以抽象为：

$$\mathbf{A} \in \mathbb{R}^{n\times n},\ \mathbf{v} \in \mathbb{R}^n,\ \mathbf{o} \in \mathbb{R}^n,$$

$$o_j = \sum_{i=1}^{n} A_{ij} v_i, \quad j = 1, \ldots, n.$$

其算术操作规模满足：

$$\#\text{FLOPs} = \Theta(n^2),$$

可写为近似线性模型：

$$T_{\text{mat}}(n) \approx an^2 + b.$$

当以归一化指标对比不同算法名时，可定义

$$S(n) = \frac{T_{\text{baseline}}(n)}{T_{\text{algo}}(n)}, \qquad E(n) = \frac{T_{\text{algo}}(n)}{n^2}.$$

其中 $S(n)$ 描述速度提升（speedup），$E(n)$ 描述单位二次规模成本，用于观察跨规模稳定性。

1.3.3 实验二（求和归约）的领域抽象

实验二抽象为向量归约：

$$\mathbf{x} \in \mathbb{R}^n, \qquad s = \sum_{i=1}^{n} x_i.$$

理论工作量：

$$W(n) = \Theta(n).$$

在领域统计层，我们关注时间模型与偏离：

$$T_{\text{sum}}(n) \approx cn + d,$$

$$\rho(n) = \frac{T_{\text{sum}}(n)}{n}$$

其中 $\rho(n)$ 是单位元素成本（ns/element）。若实现与硬件调度匹配良好，$\rho(n)$ 会在足够大规模后趋于平台相关常数；若存在缓存边界、调度抖动或带宽瓶颈，则会出现分段变化，这正是实验二后续分析的重点依据。

1.3.4 统一结果语义与可比性

两个实验在数学对象上不同（$\Theta(n^2)$ vs. $\Theta(n)$），但在领域输出上共享同一结果模式：

`BenchmarkResult` = (name, algorithm, n, samples, best, mean, median, σ, $\hat{\alpha}$, $\hat{\beta}$, R^2, notes).

这种“问题异构、输出同构”的设计让应用层和可视化层无需感知算法内部差异，只基于统一统计语义即可完成跨实验对比、回归检测与报告生成。

1.4 应用层与接口层（Application & Interfaces）实现细节

在 DDD 分层中，应用层负责“编排”（orchestration），接口层负责“解释外部输入并驱动应用层”。两者都不承载具体算法细节，而是围绕流程一致性、错误可解释性和可扩展性构建稳定边界。

1.4.1 应用层：Pipeline 编排模型

应用层以抽象基类 `BenchmarkPipeline` 定义统一契约：

$$\texttt{run()} : \varnothing \to \{\texttt{BenchmarkResult}\}.$$

这意味着任意实验流水线都被规范为“读取测试用例、展开构造参数、调用领域编排器、写出结果”四步：

$$\mathcal{P} = \mathcal{W} \circ \mathcal{O} \circ \mathcal{G} \circ \mathcal{R},$$

其中 $\mathcal{R}$ 为 CSV 读取（read），$\mathcal{G}$ 为构造参数生成（generate ctor args），$\mathcal{O}$ 为 `AlgorithmOrchestrator` 测量，$\mathcal{W}$ 为 CSV 写出（write）。

对 matrix 与 sum 两条流水线，配置结构满足同构（isomorphic）关系：

$$\texttt{Config}_{\text{domain}} = (\texttt{common},\ \texttt{benchmark\_name}),$$

$$\texttt{common} = (\texttt{input}, \texttt{output}, \texttt{run\_counts}, \texttt{warmup}, \texttt{append}, \texttt{atomic}).$$

这种设计把“实验共性”集中到 `BenchmarkPipelineConfig`，把“实验个性”收敛到领域测试行与算法枚举。

1.4.2 应用层工作量与稳定性建模

设测试用例条数为 M，采样 run-count 列表为 $\{r_k\}_{k=1}^{K}$，预热轮数为 w。若单条用例在一次 `run_once()` 的成本为 τ_j，则总执行次数可写为

$$N_{\text{exec}} = M\left(w + \sum_{k=1}^{K} r_k\right),$$

总时间近似为

$$T_{\text{pipeline}} \approx \sum_{j=1}^{M} \tau_j \left(w + \sum_{k=1}^{K} r_k\right) + T_{\text{io}} + T_{\text{dispatch}}.$$

因此应用层的关键职责不是“降低单次算子复杂度”，而是控制流程开销的可预测性（predictability）：T_{io} 与 T_{dispatch} 应尽量与算法策略解耦，避免污染领域测量结果。

此外，`MatrixBenchmarkPipeline` 在 CUDA 路径上实现了显式降级（fallback）：当 CUDA 策略运行抛异常时回退到 cache 策略，并把异常信息附加到 `notes`。这保持了批量实验的连续性（availability），避免“单条失败导致整批中断”。

1.4.3 接口层：CLI 解析的确定性状态机

接口层将命令行建模为有限状态机（finite-state machine, FSM）。顶层命令集合为

$$\mathcal{C} = \{\texttt{help}, \texttt{bench}, \texttt{validate}\}.$$

解析函数可记为

$$\Pi : \texttt{argv} \mapsto \texttt{CliParseResult},$$

其输出是规范化负载（normalized payload）：

$$\texttt{CliParseResult} = (\texttt{command\_kind},\ \texttt{bench\_options},\ \texttt{validate\_options}).$$

在 `bench` 分支，目标域

$$\mathcal{B} = \{\texttt{matrix}, \texttt{sum}\};$$

在 validate 分支，目标域

$$\mathcal{V} = \{\texttt{matrix}, \texttt{sum}, \texttt{all}\}.$$

默认值（default values）由解析器集中注入，例如：run_counts $= \{16, 32, 64\}$、warmup $= 1$、输入输出路径与 benchmark 名称。这样可保证“最短命令可运行”，同时允许显式 flag 覆盖。

1.4.4 分发、校验与退出码语义

CommandDispatcher 将解析结果映射到运行行为：

$$\Delta : \texttt{CliParseResult} \mapsto \texttt{ExitCode}.$$

退出码集合为

$$\mathcal{E} = \{0, 1, 2, 3\} = \{\texttt{Success}, \texttt{UsageError}, \texttt{ValidationFailed}, \texttt{RuntimeError}\}.$$

这提供了对自动化脚本友好的判定语义：

$$\texttt{ok} \iff \texttt{exit\_code} = 0.$$

ValidationService 则执行“强约束静态检查”（strict static validation）：一方面检查 options（路径、run-count、strict 模式），另一方面检查 CSV 结构与字段语义（必需列、数值可解析、取值域合法）。其报告模型为

$$\texttt{ValidationReport} = (\texttt{target},\ \texttt{issues}),$$

并支持 text/json 双格式渲染，便于人读与机器消费。

1.4.5 架构收益与扩展边界

从分层收益看，当前设计形成了清晰的职责闭包：

- **Application**：流程编排与结果落盘；
- **Interfaces**：命令解释、错误映射、输入前置校验；
- **Domain**：算法执行与测量统计；
- **Infrastructure**：计时、CSV、系统能力。

因此新增实验类型时，只需补充新的 Pipeline 与对应 CLI target，既有解析-分发-校验骨架可复用。其可扩展复杂度近似为

$$\Delta C \approx C_{\text{new pipeline}} + C_{\text{new cli target}},$$

而非跨层连锁改动，保持系统演化成本线性可控。

2 算法策略

2.1 矩阵列点积：Naive 策略

`matrix_dot_naive` 的定义最直接：对每一列 j 与输入向量 $\mathbf{v}$ 做点积（dot product），

$$o_j = \sum_{i=1}^{m} A_{ij} v_i, \quad j = 1, \ldots, n.$$

其中 $\mathbf{A} \in \mathbb{R}^{m \times n}$，输出 $\mathbf{o} \in \mathbb{R}^n$。

该策略的循环结构是“列外层、行内层”，实现语义清晰，且与数学定义同构（isomorphic）。时间复杂度（time complexity）为

$$T(m, n) = \Theta(mn),$$

空间复杂度（space complexity）除输出外为 $\Theta(1)$。

在工程约束上，该策略会先检查维度一致性：

$$\texttt{matrix.rows()} = \texttt{vector.size()}.$$

若不满足则抛出 `std::invalid_argument`，避免产生静默错误（silent error）。

作为基线（baseline），Naive 的价值并不在峰值性能，而在于：它提供最小语义噪声（minimal semantic noise）的参考实现，便于与后续优化策略做可解释对比。

2.2 矩阵列点积：Cache 策略

`matrix_dot_cache` 与 Naive 在数学上等价，但重排了访存局部性（memory locality）友好的执行顺序。在实现上，外层遍历行 i，并把列方向按块宽 B 分块（tiling）：

$$o_j \leftarrow o_j + A_{ij} v_i, \quad j \in [b, \min(b + B, n)).$$

该重排不改变计算结果：

$$\forall j, \quad o_j = \sum_{i=1}^{m} A_{ij} v_i,$$

但通常可改善缓存命中（cache hit）与预取行为（prefetch behavior）。

复杂度仍为

$$T(m, n, B) = \Theta(mn),$$

差异主要体现在常数项（constant factor）。当 B 与缓存层级匹配时，实测性能往往优于 Naive；当 B 过小或过大时，分块调度开销与缓存压力可能抵消收益。

参数合法性条件为

$$B > 0,$$

否则抛出 `std::invalid_argument`。

从策略设计角度，Cache 版本体现了“先保持语义不变，再优化数据路径（data path）”的原则，是本项目中最典型的“零语义风险优化”（semantics-preserving optimization）。

2.3 矩阵列点积：CUDA 策略

`matrix_dot_cuda` 将每个输出列 j 映射到一个 GPU 线程（thread），线程内部完成行向量归约：

$$o_j = \sum_{i=1}^{m} A_{ij} v_i.$$

在网格配置（grid configuration）上，令每块线程数为 T_b，则块数为

$$N_b = \left\lceil \frac{n}{T_b} \right\rceil.$$

策略要求 $T_b > 0$ 且不超过设备 `maxThreadsPerBlock`，否则视为无效配置。

从成本模型看，单次调用总时间可写为

$$T_{\text{cuda}} \approx T_{\text{H2D}} + T_{\text{kernel}} + T_{\text{D2H}} + T_{\text{sync}},$$

其中 H2D/D2H 表示主机-设备数据传输（host-device transfer）。因此 CUDA 优势通常在问题规模足够大时出现；小规模场景常被传输与同步开销淹没。

实现层面采用了 RAII（Resource Acquisition Is Initialization）设备缓冲封装，并在每个 CUDA API 调用点做错误检查。若运行环境不支持 CUDA 或运行失败，应用层会触发回退（fallback）到 cache 策略，从而保证批量实验不中断。

这一路径体现了“性能优先但可用性兜底（availability first fallback）”的工程折中。

2.4 求和归约：Naive 策略

`sum_naive` 使用单链累加（single accumulation chain）：

$$s = \sum_{i=1}^{n} x_i.$$

其复杂度为

$$T(n) = \Theta(n), \qquad S(n) = \Theta(1).$$

该策略在指令级并行（instruction-level parallelism, ILP）上较弱：每次加法依赖前一轮结果，形成长依赖链（long dependency chain）。但它拥有最小控制复杂度（minimal control complexity）和最高可解释性，因此适合作为归约实验的基线。

策略对象在每次 `run_once()` 后更新标量输出，并通过 `output_fingerprint()` 产生 64-bit 指纹（fingerprint），用于在编排层记录结果一致性（result consistency）证据。

2.5 求和归约：Superscalar 策略

`sum_superscalar` 的核心思想是把单链依赖拆成 L 条独立链路（lanes）：

$$s = \sum_{\ell=1}^{L} \left(\sum_{k} x_{kL+\ell} \right), \quad L > 0.$$

这种写法在不改变数学结果的前提下提升可并行性：处理器可并发推进多条加法链，减少单链延迟瓶颈（latency bottleneck）。复杂度仍为

$$T(n, L) = \Theta(n),$$

但常数因子受 L 和微架构（microarchitecture）共同影响。

实现包含两级分派（dispatch）：

$$\texttt{lane\_count} \in \{1, 2, 4, 8, 16\} \Rightarrow \text{固定模板快路径（fixed-template fast path）},$$

$$\text{其他}\texttt{lane\_count} \Rightarrow \text{运行期通用路径（runtime generic path）}.$$

其中快路径通过编译期展开（compile-time unrolling）减少循环控制开销；通用路径则保证参数空间的完备性（completeness）。

当 L 过大时，寄存器压力（register pressure）与调度开销可能反向恶化性能。因此 Superscalar 的关键不是“lane 越多越好”，而是寻找平台相关的最优 L^*：

$$L^* = \arg\min_{L>0} T(n, L).$$

表 2: 算法策略总览（Algorithm Policies Overview）

策略	理论复杂度	并行性特征	主要优势	主要风险
`matrix_dot_naive`	$\Theta(mn)$	低 ILP，顺序列归约	语义最直接，基线稳定	缓存局部性较弱
`matrix_dot_cache`	$\Theta(mn)$	低-中 ILP，分块访存	提升 cache 命中，常数项更优	块大小 B 选择敏感
`matrix_dot_cuda`	$\Theta(mn)$	高线程并行（GPU）	大规模吞吐潜力高	传输/同步开销与环境依赖
`sum_naive`	$\Theta(n)$	单链依赖，ILP 低	实现最简单，可解释性高	依赖链长导致吞吐受限
`sum_superscalar`	$\Theta(n)$	多链并行，ILP 高	可降低加法依赖延迟	lane 过大导致寄存器压力

3 实验评估与结果分析

3.1 矩阵列点积实验结果

本小节报告矩阵列点积（`matrix_dot`）实验结果，比较基线实现（`matrix_dot_naive`）与 cache 优化实现（`matrix_dot_cache`）在不同问题规模下的运行特征。本文统一采用 `mean_ns_per_run` 作为主要性能指标，并结合归一化曲线与加速比热力图进行分析。

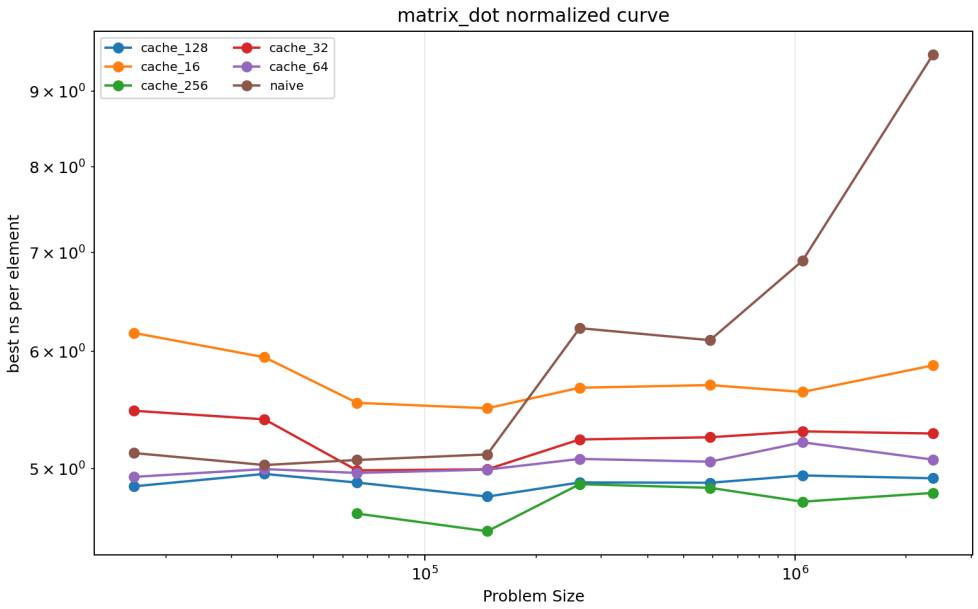

图 1: Matrix Dot 归一化耗时曲线（Normalized Runtime Curve）

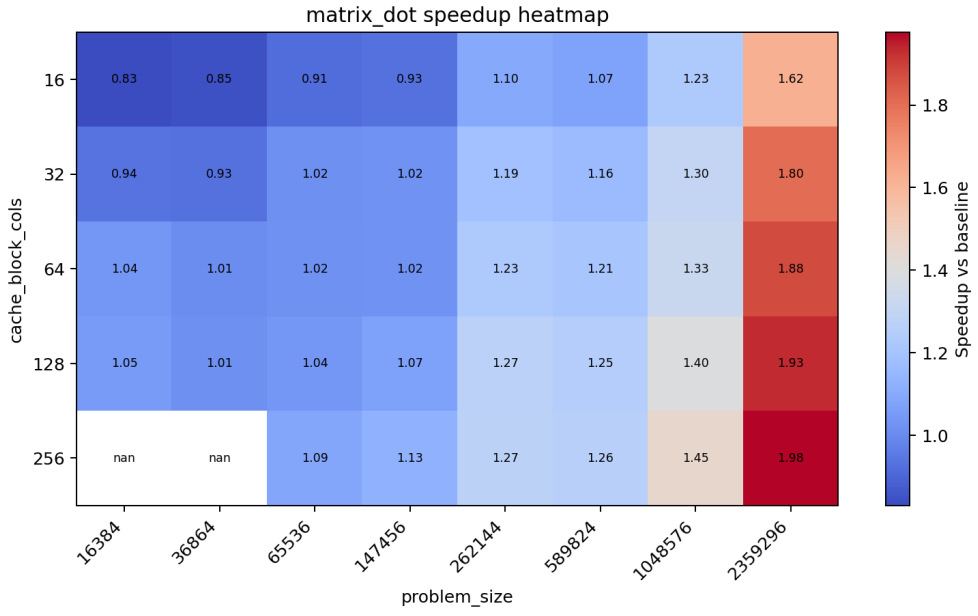

图 2: Matrix Dot 加速比热力图（Speedup Heatmap）

图 1 显示，cache 优化在小规模区间收益有限，而在规模增大后相对优势逐步扩大。图 2 进一步表明，tile 参数与问题规模存在显著耦合关系，错误的 tile 选择会削弱优化收益。

表 3: Matrix Dot 结果汇总

problem_size	n	naive mean(ns)	best cache mean(ns)	best tile	speedup
16384	128	85409.375	82809.896	128	1.03x
36864	192	189290.625	185805.208	64	1.02x
65536	256	345890.625	327537.500	256	1.06x
147456	384	763922.917	700497.396	256	1.09x
262144	512	1638146.354	1281760.417	256	1.28x
589824	768	3727486.979	2883064.583	256	1.29x
1048576	1024	8000271.354	5058044.271	256	1.58x
2359296	1536	23398195.313	11504512.500	256	2.03x

表 3 对最优配置进行了量化汇总。总体上，最优 tile 从中小规模的 64/128 逐步收敛到大规模下的 256，对应加速比由约 1.02× 提升至约 2.03×，说明 cache 局部性优化在大工作集场景下更具统计稳定性与工程价值。

3.2 求和归约实验结果

本小节给出求和归约（`sum_reduce`）在修复后的实验结果，比较基线实现（`sum_naive`）与超标量实现（`sum_superscalar`）在不同输入规模与 lane 配置下的性能差异。

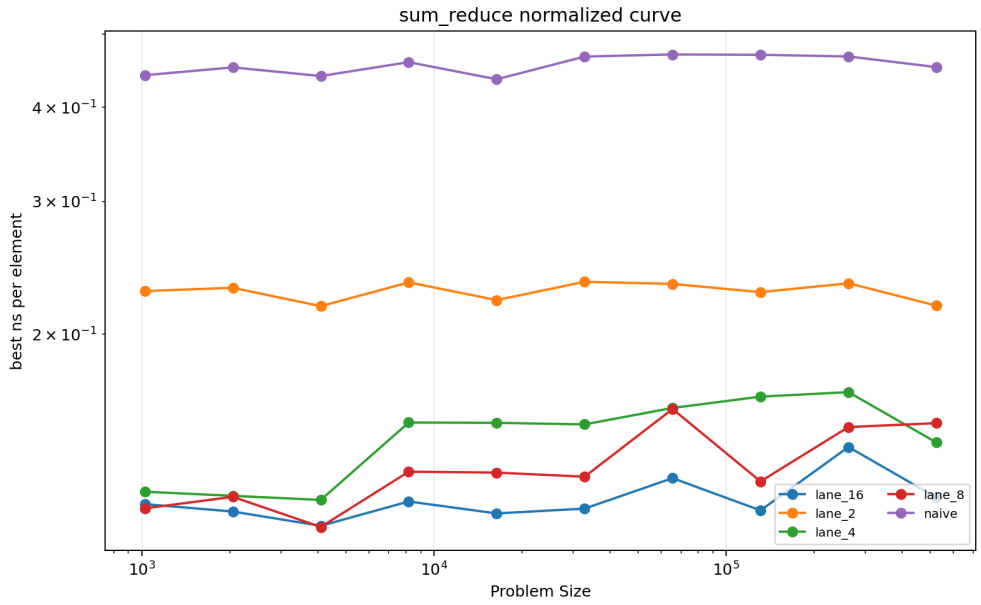

图 3: Sum Reduce 归一化耗时曲线（Normalized Runtime Curve）

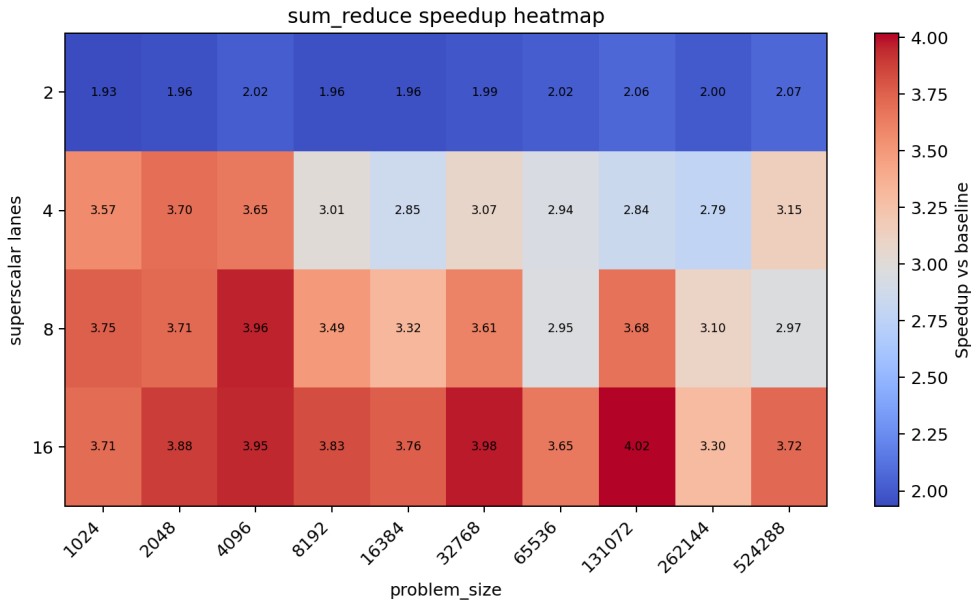

图 4: Sum Reduce 加速比热力图（Speedup Heatmap）

图 3 显示，修复后 superscalar 路径在全规模区间均显著优于 naive 基线。图 4 则表明，高收益区域集中在中高 lane 配置，其中 lane=16 在多数规模上表现最稳健。

表 4: Sum Reduce 结果汇总

problem_size	naive mean(ns)	best superscalar mean(ns)	best lane	speedup
1024	453.385	121.875	8	3.72x
2048	926.823	246.094	16	3.77x
4096	1855.208	461.198	16	4.02x
8192	3799.740	983.854	16	3.86x
16384	7404.948	1918.229	16	3.86x
32768	16029.948	3860.938	16	4.15x
65536	31409.115	10675.000	8	2.94x
131072	63255.208	15786.719	16	4.01x
262144	122703.646	38325.781	16	3.20x
524288	243235.677	65128.125	16	3.73x

由表 4 可见，修复后最优配置在多数规模上实现约 3× 到 4× 的加速，峰值约为 4.15×。该结果与图示趋势一致，说明通过消除实现缺陷并匹配合适并行 lane，可将指令级并行性有效转化为可重复的端到端吞吐提升。

4 超标量异常回归与机理分析

4.1 异常现象：Superscalar 系统性慢于 Naive

本小节聚焦一个反直觉现象：在早期实验中，理论上更具指令级并行性（Instruction-Level Parallelism, ILP）的 `sum_superscalar` 反而系统性慢于 `sum_naive`。这说明问题并非“单一参数调错”，而是实现、编译优化与实验配置共同作用后的组合偏差。

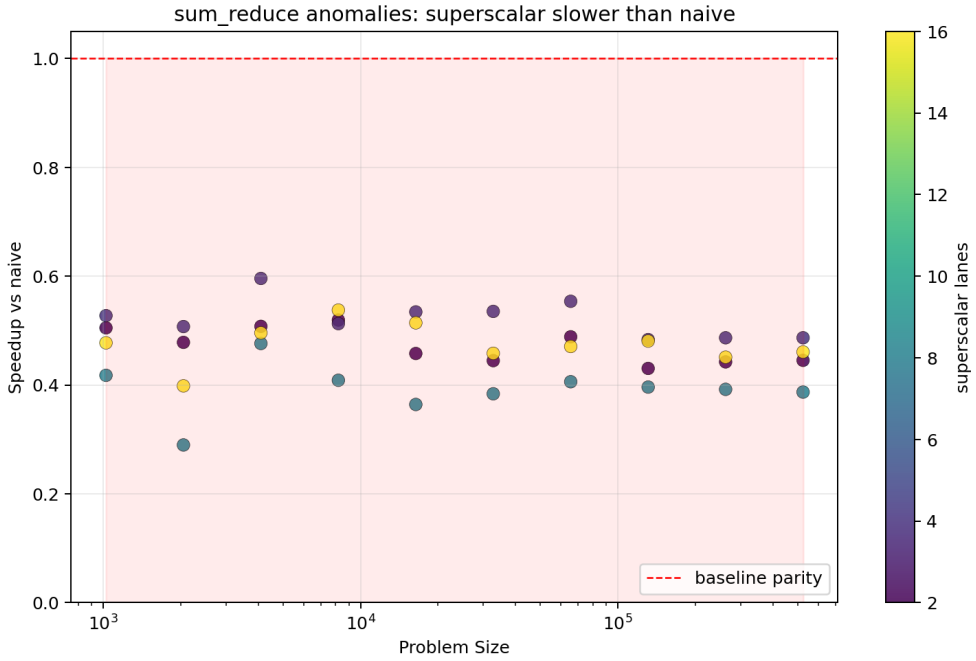

图 5: Sum Reduce 异常降速现象（Anomalous Slowdown）

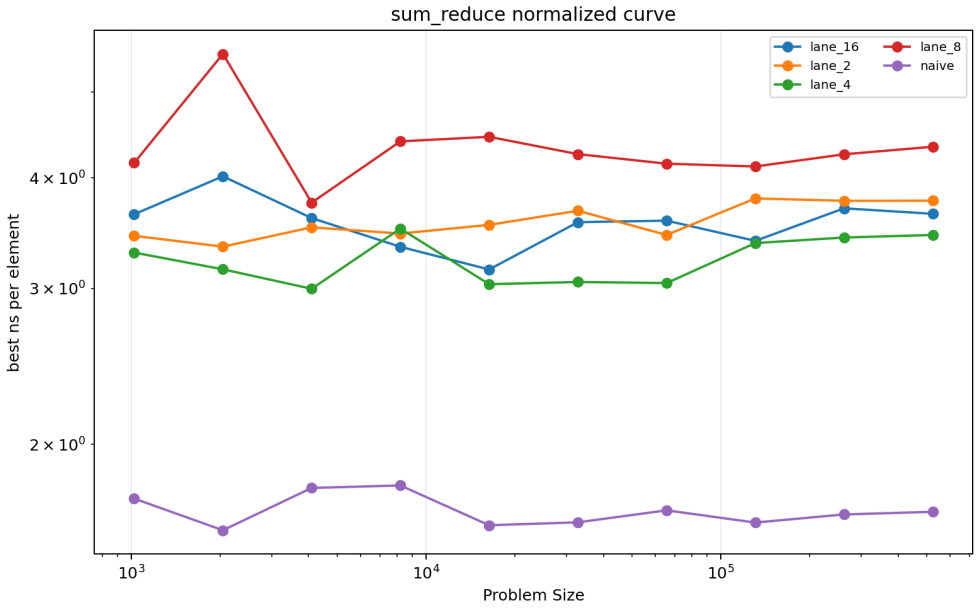

图 6: Sum Reduce 归一化耗时曲线（Before Fix）

图 5 与图 6 共同表明：在多个问题规模上，superscalar 路径归一化耗时整体高于 naive，且不同 lane 配置均未表现出稳定优势。

表 5: Sum Reduce 结果汇总

problem_size	naive mean(ns)	best superscalar mean(ns)	best lane	speedup
1024	1780.729	3404.167	4	0.52x
2048	3280.729	6793.750	4	0.48x
4096	7766.146	12486.979	4	0.62x
8192	14981.250	27732.292	16	0.54x
16384	28514.063	51951.563	4	0.55x
32768	56228.646	105374.479	4	0.53x
65536	113103.125	217284.375	4	0.52x
131072	215379.167	449490.104	4	0.48x
262144	446067.188	911948.438	4	0.49x
524288	912978.125	1820191.667	4	0.50x

表 5 进一步量化了异常：在 1024 ∼ 524288 全区间内，最佳 superscalar 配置的 speedup 始终低于 1.0×，约为 0.48× ∼ 0.62×。因此，“超标量策略失效”在该阶段是可重复、可观测的工程事实，而非随机波动。

4.2 机理分析：组合效应为何出现

异常结果并不意味着 superscalar 思路本身错误，而是三个因素的组合效应（Combination Effect）掩盖了计算核心收益。

第一，动态分配（Dynamic Allocation）进入热路径（Hot Path）。旧实现在每次归约调用中都构造 lane 容器，使计时结果混入堆分配与初始化开销；相较之下，naive 路径仅保留单累加链，固定成本更低。

第二，lane 数量在运行期决定（Runtime Lane Count），限制编译器的常量传播（Constant Propagation）、循环展开（Loop Unrolling）与寄存器分配（Register Allocation）。结果是“多路累加”未稳定映射为寄存器并行链，反而可能退化为频繁读写中间状态。

第三，构建与采样配置会放大前两项代价。在非 Release 优化等级或采样不足时，固定开销占比更高、抖动更明显，导致基准更容易测到“实现形态惩罚”而非“算法并行收益”。

需要强调的是：单一因素通常不足以造成全区间系统性反转；只有在“热路径分配 + 运行期 lane + 弱优化/轻采样”叠加时，才会出现表 5 中这种持续低于 1.0× 的整体降速。

4.3 修复策略与效果回归

修复策略遵循“把特殊情况改写成常态路径”的工程原则：先消除热路径中的可避免成本，再给编译器提供可优化的稳定形态。

1. 去分配化（No Allocation on Hot Path）：将常见 lane 场景改为固定大小缓冲与直接累加，避免每次调用触发堆分配。2. 编译期特化（Compile-Time Specialization）：对常见 lane（如 1/2/4/8/16）提供专门路径，让编译器能稳定做展开与寄存器优化。3. 基准稳健化（Benchmark Robustness）：统一在 Release 构建下评测，并提高 warmup/run-count 以抑制抖动对结论的污染。

修复后结果已在第 3 章“实验结果”中给出（见 3、4 与表 4）：superscalar 在全规模区间恢复并显著超过 naive，说明此前瓶颈主要来自实现与实验配置，而非 superscalar 归约思想本身。

5 构建系统的 Agents

5.1 Codex：从 Chatbot 到 Agent 的交互升级

大型语言模型（LLM）的早期应用主要集中于对话机器人（Chatbot），其核心优化目标是基于上下文的历史序列拟合下一个隐式符号的概率分布，即最大化 $P(y_t|y_{<t}, x)$。然而，这种纯粹的自回归生成范式存在固有的认知局限：它将模型禁锢在文本空间的“沙盒”中，缺乏与外部物理或数字世界的双向交互能力。

真正触发交互范式跃迁（Paradigm Shift）的关键，并非模型在代码生成准确率上的单一提升，而是以早期的 Codex 为先导、至如今的 Claude Code 所确立的全新交互模式（Novel Interaction Modality）。传统的对话机器人（Chatbot）将自然语言文本作为交互的交付终点；而在此新范式中，模型通过无缝集成终端、文件系统与 REPL（Read-Eval-Print Loop，读取-求值-输出循环）环境，将“执行上下文（Execution Context）”作为人机协同的共享介质（Shared Medium）。这标志着大语言模型的角色，从孤立的“基于提示词的文本回应者（Prompt-based Text Responder）”，蜕变为能够与开发者在同一计算空间中进行“状态共建与连续干预（State Co-construction and Continuous Intervention）”的协作者。这种底层交互逻辑的升级，在系统架构与交互链路层面体现为以下三个核心维度的演进：

第一，**从开环生成到闭环控制（From Open-loop Generation to Closed-loop Control）**。传统的 Chatbot 是一种开环系统（Open-loop System），其交互是离散的“请求-响应（Request-Response）”回合制；而智能体（Agent）引入了反馈机制，将其交互建模为部分可观察马尔可夫决策过程（Partially Observable Markov Decision Process, POMDP）。在此框架下，Agent 在时间步 t 生成一个代码片段或 API 调用作为动作 $a_t \sim \pi(\cdot|o_{\leq t}, a_{<t})$，外部环境（如终端、解释器或真实世界）执行该动作并返回状态观测 o_{t+1} 和奖励信号 r_{t+1}。这种闭环机制使得 Agent 能够进行自我修正（Self-Correction）

和多步推理。

第二，**控制流与执行权力的让渡（Delegation of Control Flow）**。Chatbot 的运行逻辑由硬编码（Hard-coded）的外部程序主导，模型仅作为数据处理管道中的一个被动节点（Passive Node）。而在基于 Codex 范式的 Agent 中，系统设计采用了控制反转（Inversion of Control, IoC）思想。模型通过生成控制流语句（如条件分支、循环结构），自主决定工具调用（Tool Use）的顺序与时机，实质上接管了系统的任务调度权。

第三，**表征空间的拓展与具身性（Embodiment in Digital Space）**。通过生成结构化代码，Agent 跨越了自然语言的模糊性边界。代码作为一种具有严格语义的中间表示（Intermediate Representation, IR），使得 Agent 能够精确操作数据库、调用外部传感器或操控机械臂。这种在数字环境中的“具身化（Embodiment）”，将交互的深度从“信息检索（Information Retrieval）”延展至“状态干预（State Intervention）”。

如表 6 所示，Chatbot 与 Agent 在目标驱动、感知边界和系统架构上存在本质差异。Agent 的出现，标志着人工智能从静态知识的“压缩包”正式走向动态环境中的“自主执行者”。

5.2 上下文工程：基于自回归引擎的状态机抽象

在探讨智能体（Agent）的状态管理之前，必须首先厘清大语言模型（LLM）的底层物理性质：纯粹的无状态性（Statelessness）。当前主流的 Transformer 架构本质上是一个基于马尔可夫假设的自回归生成器（Autoregressive Generator）。其计算目标是基于历史序列的联合概率分布，最大化目标序列的似然：

$$P(x_{1:T}) = \prod_{t=1}^{T} P(x_t | x_{<t}; \theta)$$

其中，$x_{1:T}$ 为完整序列，x_t 为时间步 t 生成的词元，$x_{<t}$ 代表直到 $t-1$ 时刻的离散上下文历史，而 θ 是模型在推理阶段只读的静态参数。这种架构决定了模型在多轮交互中无法通过权重更新来捕获动态状态。因此，“上下文工程（Context Engineering）”的实质，是在一个无状态的概率生成引擎外部，通过维护一个受限的一维词元缓冲区（Token Buffer），来模拟一个具备工作记忆（Working Memory）的确定性状态机（Deterministic State Machine）。

从自回归的视角来看，管理这块极其昂贵且有限的“内存”，需要在以下三个正交维度上进行精密工程化：

第一，**状态的序列化与表征（State Serialization and Representation）**。由于 $x_{<t}$ 必须是离散的一维词元序列，外部世界复杂的多维、嵌套状态（如文件系统的树状结构、数据库的图结构）必须被强制降维并序列化为文本表示（Textual Representation）。优秀的上下文工程需要设计高信息熵密度的结构化模板（如 XML 或 Markdown 标记），以最少的词元（Tokens）精确锚定外部环境的当前切片，从而降低模型注意力机制（Attention Mechanism）的计算复杂度。

表 6: Chatbot 与 Agent 的多维度架构与交互特性对比

分析维度 (Dimension)	**传统对话机器人 (Chatbot)**	**自主智能体 (Autonomous Agent)**
核心驱动力 *(Core Driver)*	**响应驱动 (Reactive):** 被动等待用户输入，以生成人类偏好的自然语言文本为最终目标。	**目标驱动 (Proactive):** 以完成高阶目标（Goal）为导向，自主进行任务分解（Task Decomposition）与规划。
环境交互与边界 *(Environment & Boundary)*	**受限的静态边界 (Static Boundary):** 输入输出局限于预设的对话框，无法感知或改变外部系统（如文件系统、网络）的状态。	**具身的动态边界 (Dynamic Embodiment):** 将模型作为认知大脑，通过 API、代码执行器等动作空间（Action Space）直接读取和修改外部环境状态。
状态与记忆管理 *(State & Memory)*	**短期且扁平 (Short-term & Flat):** 仅依赖滑动窗口（Sliding Window）保留近期对话上下文，缺乏对长周期任务的结构化记忆。	**分层且持久 (Hierarchical & Persistent):** 维持复杂的内部工作记忆（Working Memory），并能利用向量数据库进行长期的状态追踪（State Tracking）与知识检索。
错误处理与演进 *(Fault Tolerance)*	**单步失败 (Single-step Failure):** 遇到生成错误或幻觉（Hallucination）时，通常直接向用户暴露错误，需人类介入纠正。	**闭环自省 (Closed-loop Reflection):** 利用环境反馈的错误信息（如 Runtime Error 堆栈），通过 ReAct (Reasoning and Acting) 范式自主反思并重试。

第二，**KV 缓存视角的计算复用（Computational Reuse via KV Cache）**。在工程实现中，自回归生成的每一步并不需要重新计算 $x_{<t}$ 的所有隐藏状态。通过键值缓存（Key-Value Cache），模型将历史词元的投影矩阵驻留在显存中。此时，上下文工程的策略直接影响着系统的吞吐量：例如，通过系统提示词（System Prompt）前置且保持不变，最大化 Prefix Caching 的命中率；或者利用注意力下沉（Attention Sink）现象，在滚动剔除旧上下文时保留最初始的几个 Token，以维持模型深层注意力的激活稳定性。

第三，**状态生命周期与信息驱逐（Lifecycle and Context Eviction）**。由于 Transformer 的自注意力计算复杂度相对于序列长度呈二次方 $O(N^2)$ 增长，状态的线性累积必然导致内存溢出（OOM, Out of Memory）或“中间迷失（Lost in the Middle）”的认知降级。因此，上下文不再是简单的历史记录追加（Append-only Log），而必须引入显式的存储层级（Memory Hierarchy）。这表现为对短程记忆（当前 Context Window）中的冗余步骤进行动态摘要（Dynamic Summarization），并将高价值状态序列化至长期记忆（如向量数据库 Vector DB）中，在需要时通过检索增强（RAG, Retrieval-Augmented Generation）将其重新注入到 $x_{<t}$ 的分布中。

基于上述底层内存管理的物理约束，当我们摒弃传统对话机器人的拟人化视角，将 LLM 视为系统的核心计算图（Computational Graph）时，当前智能体技术栈中的核心组件（Prompt Engineering, Function Calling, Skills, MCP）就不再是孤立的启发式技巧（Heuristic Tricks），而是用于弥合“随机概率生成”与“确定性系统控制”之间阻抗不匹配（Impedance Mismatch）的系统级原语（System Primitives）。

这些原语通过对上下文缓冲区的精细读写控制，共同构筑了 Agent 的控制流边界。具体而言，它们从初始偏置、I/O 中断、逻辑降维和协议解耦四个互斥且完备的维度，完成了外部状态向模型输入空间的映射（详见表 7）。

由此可见，现代 Agent 架构的演进，本质上是上下文边界的不断解耦与标准化。认知能力的上限，不再单纯依赖于扩大模型参数量 θ，而是取决于这套外围接口系统的调度效率、状态表征密度以及对上下文窗口层级记忆的管理策略。

5.3 人机协作：执行器-验证器（Executor-Validator）模式

在智能体（Agent）的大规模工程实践中，传统极客思维往往陷入一种对模型“单次推理准确率（Single-shot Accuracy）”的过度追求，试图消除大语言模型（LLM）的幻觉（Hallucination）。然而，从认知科学与系统工程的角度来看，人类自身同样充斥着记忆重构与认知偏差。因此，人机协同的本质并非打造完美的“全知神明”，而是通过架构设计建立可审计的信任链条（Auditable Chain of Trust）。

这种转变标志着范式的转移：使用 AI 的核心已从纯粹的“底层技术调用（Technical Execution）”跃升为“认知工作流的管理（Cognitive Workflow Management）”。其核心设计原则是：**架构决策与实现细节相分离（Separation of Architectural Decisions and Implementation Details）**。在此原则下，执行器-验证器（Executor-Validator）模

表 7: Agent 系统原语对自回归上下文的抽象与干预机制

系统原语 *(System Primitive)*	计算流抽象 *(Compute Flow Abstraction)*	上下文干预逻辑 *(Context Intervention)*	系统学工程意义 *(Engineering Significance)*
Prompt Engineering (指令偏置)	**归纳偏置注入 (Inductive Bias Injection):** 定义任务的约束边界与先验概率分布。	在 $x_{<t}$ 初始化阶段，通过前缀硬编码（Prefix Hardcoding）锁定注意力头的基础激活状态。	为无状态模型确立初始执行域（Execution Domain），等价于配置执行环境的环境变量与约束法则。
Function Calling (执行中断)	**远程过程调用 (RPC) 与中断:** 赋予模型挂起当前生成流并触发外部环境计算的权限。	当预测出特定词元（如 `<tool_call>`）时，中断自回归循环，等待外部真实状态写入上下文后再恢复生成。	实现了概率生成系统与确定性物理/数字环境之间的读写同步（Read-Write Synchronization）。
Skills / Tools (逻辑封装)	**子例程抽象 (Subroutine Abstraction):** 将高频的多步操作固化为粗粒度的调用接口。	将复杂的业务逻辑代码从当前上下文窗口中剥离，仅在需要时将其接口描述（Schema）映射入上下文。	通过降低操作维度（Dimensionality Reduction），极大节约了上下文词元消耗，提升任务规划的可靠性。
MCP (协议解耦)	**标准化 I/O 接口 (Standardized I/O Interface):** 统一异构数据源与模型之间的双向通信规范。	将数据源的获取逻辑与 Prompt 的构建过程解耦，实现外部上下文的动态、即时挂载（Dynamic Mounting）。	消除了大量的定制化胶水代码（Glue Code），防止底层数据接入逻辑对高阶推理上下文造成污染。

式成为了构建高可靠智能系统的基石。

在该模式下，工作流被解耦为两个非对称的计算节点：

第一，**作为高吞吐量生成源的执行器（The Agentic Executor）**。大语言模型在系统中扮演底层劳动力（Cognitive Laborer）的角色。其核心优势在于近乎零边际成本的生成能力与对海量上下文的模式匹配（Pattern Matching）。执行器负责处理冗余的实现细节（如代码编排、数据清洗、文本草拟），并接受验证器反馈的错误日志进行重试（Retry）。此时，模型的“幻觉”不再是致命缺陷，而是被视为一种探索解空间的“随机游走（Random Walk）”特性。

第二，**作为多维过滤域的验证器（The Multi-dimensional Validator）**。验证机制是保障系统收敛的关键，其实质是将“开放域的生成问题”降维转化为“封闭域的判别问题（Discriminative Problem）”。为了覆盖不同维度的容错需求，验证器矩阵通常包含以下三个互斥且完备的层级：

- **客观的确定性验证（Deterministic / Metric Validators）**：针对可形式化验证的环节。例如，在代码生成中，利用 CI/CD 流水线、编译器错误堆栈、单元测试或形式化证明工具（Formal Verification）作为绝对的裁决者。此类验证器提供 0/1 的硬约束，构成系统可靠性的底座。

- **对抗性的智能体验证（Adversarial Agentic Validators）**：针对缺乏硬性指标的中间态任务。引入基于 Actor-Critic 架构的“评审智能体（Critic Agent）”，形成多智能体博弈（Multi-Agent Debate）。通过相互独立（如使用不同模型权重或系统提示词）的 Agent 进行交叉验证与逻辑挑刺，过滤浅层逻辑漏洞。

- **以“品味”为核心的人类验证（Human-in-the-Loop / Aesthetic Validators）**：在系统最高抽象层，人类彻底让渡了“执行权（Execution）”，转而垄断“否决权（Veto Power）”与“价值对齐（Value Alignment）”。此时，人类专家的角色从“打字员”升级为“总架构师（Chief Architect）”，其核心贡献不再是编写具体逻辑，而是提供领域内的直觉、架构品味（Architectural Taste）与最终的责任兜底。

综上所述，在 Executor-Validator 模式中，最终交付的系统质量不再是单一模型能力的线性外推，而是一种**涌现的自然结果（Emergent Property）**。只要验证器（Validator）的判别标准足够严密、反馈回路（Feedback Loop）足够通畅，即便由充满缺陷的 Agent 执行器组成的系统，依然能够交付超越个体极限的高鲁棒性成果。